

## Requerimientos de phase-matching

$$\Delta K = K_1 + K_2 - K_3$$

Cuando  $\Delta K \neq 0$ , la eficiencia para producir  $I_3$  se reduce drásticamente

$$1D: \Delta K = 0 \Rightarrow K_1 + K_2 = K_3$$

$$n_1 w_1 + n_2 w_2 = n_3 w_3$$

(1)

$$\text{Junto con } w_1 + w_2 = w_3 \quad (2)$$

En regímenes de "dispersión normal",  $n(w)$  es monótono-creciente con  $w$ . Entonces, y sin pérdida de generalidad, si suponemos  $w_1 < w_2 < w_3$ , re-escribimos (1) como:

$$n_3 = \frac{n_1 w_1 + n_2 w_2}{w_3} \Rightarrow n_3 - n_2 = \frac{n_1 w_1 + n_2 w_2 - n_2 w_3}{w_3}$$

=  ~~$n_1 w_1 - n_2 w_3$~~

$$= \frac{n_1 w_1 - n_2 (w_3 - w_2)}{w_3} = \frac{n_1 w_1 - n_2 w_1}{w_3}$$

• De scrs  $\boxed{n_3 - n_2 = (n_1 - n_2) \frac{w_1}{w_3}}$  → ← (3)

Deviátilo para dispersión normal

Se puede, en principio, usar dispersión anómala, pero surgen otros problemas (absorción)

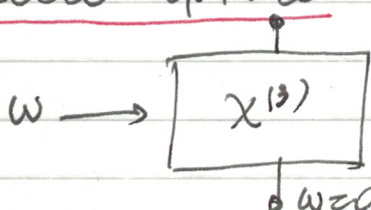
óptico no-lineal de 3<sup>er</sup> orden

(señal dentro de la  
aprox. de Born)

$$P_{NL}^{(3)} = \chi^{(3)} E^3, \text{ o más exacto:}$$

$$P_{NL}^{(3)} = \sum_{JKL} \chi_{ijkJKL}^{(3)} E_j E_k E_L$$

Eso también ocurre de por si, un efecto  
"Electro-optico":



$$P_{NL}^{(3)} = \chi^{(3)} (E_0 + E(w) e^{i\omega t} + \text{c.c.})^3 = \chi^{(3)} (E_0 + E(w) e^{i\omega t} + \text{c.c.})(E_0 + E(w) e^{i\omega t} + \text{c.c.})(E_0 + E(w) e^{i\omega t} + \text{c.c.})$$

$$\text{La contribución } P_{NL}^{(3)}(w) = \chi^{(3)} \left[ E_0^2 E(w) e^{i\omega t} + 2 E_0^2 E(w) e^{i\omega t} + 2 |E(w)|^2 E(w) e^{i\omega t} + \text{c.c.} \right]$$

$$= [3 E_0^2 E(w) + 2 |E(w)|^2] E(w) e^{i\omega t} + \text{c.c.}$$

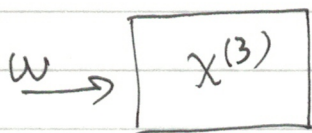
$$\therefore P_{NL}^{(3)}(w) = \chi^{(3)} (3 E_0^2 + 2 |E(w)|^2) E(w) \approx 3 E_0^2 E(w) \chi^{(3)}$$

$$P_{NL}(w) = \underbrace{\chi^{(1)} + 3 \chi^{(3)} E_0^2}_{\chi(w)} E(w)$$

$$n^L = 1 + nL \chi(w)$$

$$2n \Delta n = nL \Delta \chi \Rightarrow \Delta n = \frac{2\pi}{n} (3 \chi^{(3)} E_0^2) = \boxed{\left( \frac{6\pi}{n} \chi^{(3)} \right) E_0^2}$$

## Generación de tercer armónico



$$P_{NL} = X^{(3)} \left( E(\omega) e^{i\omega t} + c.c. \right)^3 \\ = X^{(3)} \left[ E^3(\omega) e^{3i\omega t} + 3|E|^2 E^2 e^{i\omega t} + c.c. \right]$$

$$\Rightarrow P_{NL}(\omega) = 3X^{(3)} |E|^2 E(\omega) \rightarrow \text{contribuye a } X(3\omega)$$

$$\text{y } P_{NL}(3\omega) = X^{(3)} E^3(\omega) \rightarrow \text{generación de 3er armónico}$$

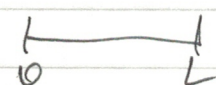
Efecto Kerr óptico:  $n^2 = 1 + 4\pi n X(\omega)$   
 $2n \Delta n = 4\pi D X(\omega)$

$$\Delta n = \frac{2\pi}{n} (3X^{(3)} |E(\omega)|^2) \equiv n_2 I$$

de modo que  $n(I) = n + n_2 I$

efecto Kerr  
óptico

Auto-modulación de fase: debido a  $n = n(I)$ , la fase de un rayo óptico, al atravesar un medio cúbico experimenta un cambio, que depende de  $I$ . de la misma orden.



$$\Delta\phi = \frac{2\pi n(I)L}{\lambda_0} = \frac{2\pi}{\lambda_0} (n + n_2(I)) L$$

$$\Rightarrow D\phi = \frac{2\pi n_2 L}{\lambda_0} I$$

Por ej., si queremos que  $\Delta\varphi(L) = \pi$

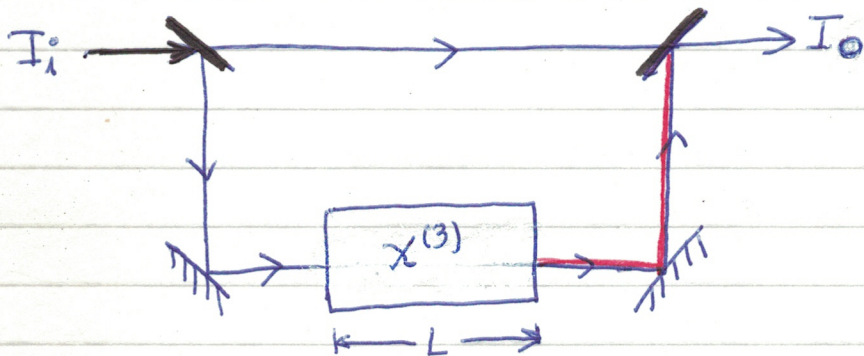
$$\Rightarrow \pi = 2\pi n_2 \left(\frac{L}{\lambda_0}\right) I \Rightarrow I = \frac{1}{2n_2(L/\lambda_0)} \Rightarrow P = \frac{\lambda_0 A}{2L n_2}$$

Fibre óptica,  $L = 1\text{m}$ ,  $A = 10^{-2}\text{ mm}^2$ ;  $n_2 = 10^{-10}\text{ cm}^2/\text{W}$ ,  
 $\lambda_0 = 1\text{ }\mu\text{m}$  (ir)  $\Rightarrow P_\pi = 0.5[\text{W}]$

Si  $n_2$  es mayor, es posible lograr  $\Delta\varphi = \pi$  en distancias de 1 cm, con  $P = 0\text{ (mW)}$ .

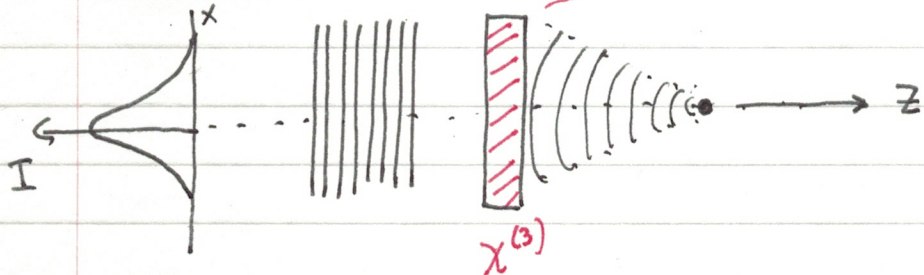
El efecto de modulación de fase puede emplearse para modular intensidad.

"controlar la luz con luz"



Interferómetro  
Mach-Zehnder

Auto-enfocamiento:



## OPTICAL Pulse & Group Velocity

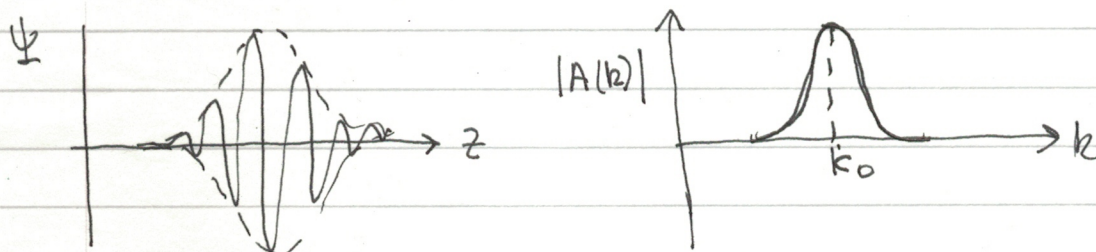
1D onda esclusa  $\Psi(z,t)$  (soluz. a leq. de Maxwell)

$$\Psi(z,t) = \int_{-\infty}^{\infty} A(k) e^{i(wt - kz)} dk \quad (1)$$

$$\Psi(z_0) = \int_{-\infty}^{\infty} A(k) e^{-ikz_0} dk \quad (2) \quad |A(k)|^2 \text{ spettro di forme di } \Psi(z,t)$$

definim  $w = w(k)$  "veloc. de dispersion"

medio isotropico:  $w(-k) = w(k)$



$$w(k) = w_0 + \left(\frac{dw}{dk}\right)_0 (k - k_0) + \dots \quad (3)$$

$$\Psi(z,t) = \int_{-\infty}^{\infty} A(k) e^{i(w_0 t + \left(\frac{dw}{dk}\right)_0 (k - k_0)t - kz)} dk$$

$$\approx C \int_{-\infty}^{\infty} A(k) e^{i\left[\left(\frac{dw}{dk}\right)_0 t - z\right](k - k_0)} dk$$

$E[z - (dw/dk)_0 t]$

$$\Psi(z,t) \approx C e^{i(w_0 t - kz)}$$

"envelope"

→ el pulso viaja sin dispersión, con velocidad

$$v_g = \left( \frac{dw}{dk} \right)_0$$

como la densidad de energía  $\propto |\Psi(z, t)|^2$

→ Veloc. de grupo  $\leftrightarrow$  transporte de energía

$$v_g = \left( \frac{dw}{dk} \right)_0 \neq \frac{w_0}{k_0} = v_{ph}$$

óptico:  $k = n(\omega) \frac{w}{c}$

$$v_{ph} = \frac{c}{n(\omega)}$$

$$\text{y } v_g = \left( \frac{dw}{dk} \right) = \left( \frac{d\bar{k}}{d\omega} \right)^{-1} = \left[ \frac{dn(\omega)}{d\omega} \left( \frac{w}{c} \right) + \frac{1}{c} n(\omega) \right]^{-1} = \frac{c}{\frac{n}{c} + \frac{dn(\omega)}{d\omega} \left( \frac{w}{c} \right)}$$

$$v_g = \frac{c}{n + w(dn/d\omega)}$$

$v_g < v_{ph}$  si  $dn/d\omega > 0$  (dispersión normal)

si  $dn/d\omega < 0$  y grande,  $v_g$  puede ser mayor que  $c$ .

cuando ocurre esto ya no se valide la aprox. cuadrática.

sigue siendo constante:  $\frac{1}{2} \left( \frac{dw}{dk} \right)_0^2 (k - k_0)^2 \rightarrow$  de origen a  
 $v_g = v_g(w)$

→ ensanchamiento del pulso

## Solitones ópticos

consideremos propagación de  $\vec{E}(z, t) = \vec{A}(z, t) e^{i(k_0 z - \omega_0 t)}$  + c.c. (1)

donde el medio está caracterizado por

$$n(t) = n_0 + n_2 I(t), \text{ con } I(t) = \frac{n_0 c}{2\pi} |\vec{A}(z, t)|^2 \quad (2)$$

la ec. de onda tiene la forma:

$$\frac{\partial^2 \vec{E}}{\partial z^2} - \frac{1}{c^2} \frac{\partial^2 \vec{D}}{\partial t^2} = 0$$

$$\begin{aligned} \text{donde } \vec{D} &= \vec{D}_L + \vec{D}_{NL} \\ &= \vec{E} + 4\pi (\vec{P}_L + \vec{P}_{NL}) \equiv (1 + n_2 \chi) \vec{E} \equiv \epsilon \vec{E} \end{aligned} \quad (3)$$

introducimos T. de Fourier:

$$\vec{E}(z, \omega) = \frac{1}{2\pi} \int_{-\infty}^{\infty} E(z, \omega') e^{-i\omega' t} ; \quad \vec{D}(z, \omega) = \frac{1}{2\pi} \int_{-\infty}^{\infty} D(z, \omega') e^{-i\omega' t} \quad (4)$$

$$\text{con } D(z, \omega) = \epsilon(\omega) E(z, \omega)$$

↪ cte. dielectrónico efectivo (lineal + no-lineal)

Reempl. (4) en (3), resulta

$$\frac{\partial^2 E(z, \omega)}{\partial z^2} + \epsilon(\omega) \frac{\omega^2}{c^2} E(z, \omega) = 0 \quad (6)$$

$$\text{introdurí } A(z, w) = \int_{-\infty}^{\infty} A(z, t) e^{i w t} dt \quad (7)$$

y, de (1)

$$\begin{aligned}
 E(z, w) &= \int_{-\infty}^{\infty} E(z, t') e^{i w t'} dt' \\
 &= \int_{-\infty}^{\infty} A(z, t') e^{i(b_0 z - w_0 t')} e^{i w t'} dt' + \int_{-\infty}^{\infty} A^*(z, t') e^{-i(b_0 z - w_0 t')} e^{i w t'} dt' \\
 &= \int_{-\infty}^{\infty} A(z, t') e^{i(b_0 z + (w - w_0)t')} + A^*(z, t') e^{-i(b_0 z - (w - w_0)t')} dt' \\
 &= A(z, w - w_0) e^{ib_0 z} + A^*(z, w + w_0) e^{-ib_0 z} \\
 &\approx A(z, w - w_0) e^{ib_0 z} \quad (\text{RWA}) \quad (8)
 \end{aligned}$$

replacing into (6):

$$\begin{aligned}
 \frac{\partial^2 E}{\partial z^2}(z, w) &= \frac{\partial}{\partial z} \left\{ \frac{\partial A}{\partial z} e^{ib_0 z} + i b_0 A e^{ib_0 z} \right\} \\
 &= \left( \frac{\partial^2 A}{\partial z^2} \right) e^{ib_0 z} + 2 i b_0 \left( \frac{\partial A}{\partial z} \right) e^{ib_0 z} - k_0^2 A e^{ib_0 z} \\
 &\approx 2 i k_0 \left( \frac{\partial A}{\partial z} \right) e^{ib_0 z} - k_0^2 A e^{ib_0 z} \quad \left( \left| \frac{\partial A}{\partial z} \right| \ll k_0 A \right)
 \end{aligned}$$

$$(6) \text{ que } z i k_0 \frac{\partial A}{\partial z} + (k^2 - k_0^2) A = 0 \quad \} (g)$$

$$\text{con } k(\omega) = \left(\frac{\omega}{c}\right) \sqrt{\epsilon(\omega)} = \frac{\omega}{c} n(\omega)$$

$$\text{desde } k \text{ difiere poco de } k_0 \Rightarrow k^2 - k_0^2 \approx (k+k_0)(k-k_0) \\ \approx 2k_0(k-k_0)$$

$$\Rightarrow \frac{\partial A}{\partial z}(z, \omega - \omega_0) + i(k - k_0) A(z, \omega - \omega_0) = 0 \quad (10)$$

Ahora,  $k$  depende de  $\omega$  y de la intensidad  $I$ . Típicamente se aproxima esta dependencia como --

$$k = k_0 + \Delta k_{NL} + k_1 (\omega - \omega_0) + \frac{1}{2} k_2 (\omega - \omega_0)^2 \quad (\text{Taylor}) \quad (11)$$

$$\text{donde } \Delta k_{NL} = \left(\frac{\omega_0}{c}\right) \Delta n_{NL} = n_2 I \left(\frac{\omega_0}{c}\right) \quad (12)$$

donde  $I$  esto' dado por (2).

Resumiendo,

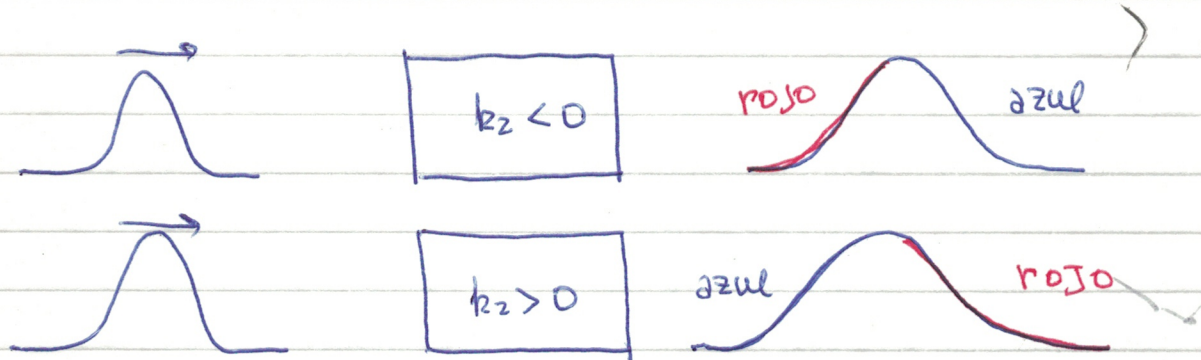
$$k_1 = \left( \frac{\partial k}{\partial \omega} \right)_{\omega=\omega_0} = \frac{1}{c} \left[ n_L(\omega) + \omega \frac{d n_L}{d \omega} \right]_{\omega=\omega_0} = \boxed{\frac{1}{n g(\omega_0)}} \quad \begin{matrix} \text{veloc.} \\ \text{grup.} \end{matrix} \quad (13)$$

$$k_2 = \left( \frac{d^2 k}{d \omega^2} \right)_{\omega=\omega_0} = \frac{d}{d \omega} \left[ \frac{1}{n g(\omega)} \right]_{\omega_0} = \boxed{\left( \frac{-1}{n g^2(\omega)} \frac{d n g}{d \omega} \right)_{\omega=\omega_0}} \quad \begin{matrix} \text{dispersion} \\ \text{de veloc. grupo} \end{matrix} \quad (14)$$

Resumen

$k_2 > 0 \Rightarrow$   $\lambda$  menores se propagan más rápido

$k_2 < 0 \Rightarrow$   $\lambda$  mayores se propagan más lento



Ahora se reemplaza (11) en (10):

$$\frac{\partial A}{\partial z} - i \Delta R_{NL} A - ik_1 (\omega - \omega_0) A - \frac{1}{2} ik_2 (\omega - \omega_0)^2 A = 0 \quad (15)$$

y se transforma al dominio temporal:  $\int_{-\infty}^{\infty} \times e^{-i(\omega - \omega_0)t} d(\omega - \omega_0)$

$$\int_{-\infty}^{\infty} A(z)(\omega - \omega_0) e^{-i(\omega - \omega_0)t} \frac{d(\omega - \omega_0)}{2\pi} = A(z/t)$$

$$\int_{-\infty}^{\infty} (\omega - \omega_0) A(z)(\omega - \omega_0) e^{-i(\omega - \omega_0)t} \frac{d(\omega - \omega_0)}{2\pi} = i \frac{\partial}{\partial t} A(z/t)$$

$$\int_{-\infty}^{\infty} (\omega - \omega_0)^2 A(z)(\omega - \omega_0) e^{-i(\omega - \omega_0)t} \frac{d(\omega - \omega_0)}{2\pi} = - \frac{\partial^2 A(z/t)}{\partial t^2}$$

y (15) se transforma en:

$$\frac{\partial A}{\partial z} + k_1 \frac{\partial A}{\partial t} + \frac{1}{2} i k_2 \frac{\partial^2 A}{\partial t^2} - i \Delta K_{NL} \vec{A} = 0 \quad (16)$$

def:  $z = t - \frac{z}{V_g} = t - k_1 z$  y def:  $A_s(z, z) = A(z, t)$

$$\frac{\partial A}{\partial z} = \frac{\partial A_s}{\partial z} + \frac{\partial A_s}{\partial z} \frac{\partial z}{\partial z} = \frac{\partial A_s}{\partial z} - k_1 \frac{\partial A_s}{\partial z}$$

$$\frac{\partial A}{\partial t} = \frac{\partial A_s}{\partial z} \underbrace{\frac{\partial z}{\partial t}}_0 + \frac{\partial A_s}{\partial z} \underbrace{\frac{\partial z}{\partial t}}_1 = \frac{\partial A_s}{\partial z} \Rightarrow \frac{\partial^2 A}{\partial t^2} = \frac{\partial^2 A_s}{\partial z^2}$$

$$\Rightarrow \frac{\partial A_s}{\partial z} + \frac{i}{2} k_2 \frac{\partial^2 A_s}{\partial z^2} - i \Delta K_{NL} A_s = 0 \quad (17)$$

y recordar:  $\Delta K_{NL} = n_2 \left( \frac{w_0}{c} \right) I = \frac{n_0 n_2 w_0 |A_s|^2}{2\pi} = \gamma |A_s|^2$

$$\Rightarrow \frac{\partial A_s}{\partial z} + \frac{i}{2} k_2 \frac{\partial^2 A_s}{\partial z^2} - i \gamma |A_s|^2 A_s = 0$$

$i \frac{\partial A_s}{\partial z} = \frac{k_2}{2} \frac{\partial^2 A_s}{\partial z^2} - \gamma |A_s|^2 A_s$

Ec. de Schrödinger no-lineal  
comprobar como elíptica

Solución fundamental:  $A_s(z, z) = A_s^\circ \operatorname{sech}(z/z_0) e^{ikz}$

donde debe cumplirse:  $|A_s^\circ|^2 = \frac{-k_2}{\gamma z_0^2} = \frac{-2\pi k_2}{n_0 n_2 w_0 z_0^2}$

Más tarde  
 $A_s^\circ$  y  $z_0$

amplitud ancho

$\rightarrow$   $z_0$   
 $1/z_0 \downarrow$   
 $k = -k_2 / 2 z_0^2$

$\Rightarrow$  Se necesita:  $k_2/n_2 < 0$